

九州大学 工学部 正員 植東一郎

平野宗夫

学生員○右田眞

I. まえがき

貯水池の堆砂には掃流砂によるものと浮遊砂によるものがあり、その構造を異にする。実際の貯水池に於いては両者が混在し、浮遊砂の堆積した Bottom - Set Bed 上を掃流砂が段丘の形で進行するといつて形態をとるものと考えられる。我々はこれ迄浮遊砂と掃流砂が同時に貯水池内に流入する場合の貯水池の堆砂過程について実験・考察して来たが、これ迄の実験の範囲では段丘の形成に寄与する浮遊砂は、デルタ先端の Wake 内に沈殿したものだけであり、従って Fore - Set Bed 附近の流れの様相と浮遊砂の濃度分布を知る事が必要である。このような観点から図-1 に示すような装置を作り、Fore - Set Bed 附近に於ける水理特性(特に剥離領域の性状)、Wake の長さ(l)、Wake 内に沈殿する浮遊砂量(B_{sf})、及び浮遊砂の濃度分布について実験したので、以下報告する。

II. 実験装置と方法

有効長 15 m、幅 60 cm の鋼鉄製水路に図-1 に示すような装置を作り、上流端に取付けられた Sand Feeder から一定量の石炭粉($d_{50} = 0.57 \text{ mm}$)を供給 $L(B_{sf})$ 、Wake 内に沈殿した石炭粉(B_{sf})はサイフォンで抜いて測定した。この際供給石炭粉は浮遊状態で流れる($u_{sf} w_0$)ように下流端の可動堰で水位(h_0)を調節し、上流端に於いて攪拌板を用いて水と石炭粉の混合を促進した。剥離域の長さ(l)は水路底に 2 cm の間隔で接着した長さ 2 cm の木綿糸のたなびき具合と Water Blue の溶液を注入して、その流向とから判定した。流速はプロペラ流速計に依り、濃度分布については中=5.0 mm の円形断面をもつ Pipe を用いて測定(サイフォン式)した。資料採取に当っては、採取点の流速と Pipe 内の流速が出来るだけ一致するよう努めた。尚、マサツ速度(U)は Preston's Tube によって測定したものである。

III. 実験結果と考察

1. 剥離領域の性状

段落部の水理特性は剥離領域の形成と噴流の拡散過程として考えられる。自由噴流の場合、噴流によって運行される流体の補給は拘束なく行なわれるが、段落部に於いては、下流側水路底の為、深さ方向の流れは拘束され、運行流体の補給は逆流によって補給されねばならず、よって噴流と水路底の間に逆流領域が形成される。

実験要目							
NO.	Q	W	h ₀ cm	D cm	l/D	U _{sf} %	P
I-1	27.5	6.6	10	0.66	3.7	18.8	0.70
	2	38.1	6.6	10	0.66	4.4	22.2
	3	17.9	4.1	10	0.41	3.5	20.8
	4	29.9	5.9	10	0.56	3.9	21.8
II-1	24.3	5.8	20	0.29	3.8	18.6	0.69
	2	37.0	7.3	20	0.365	4.2	19.4
	3	24.9	6.3	20	0.315	4.0	19.8
	4	17.3	4.5	20	0.225	3.6	17.7

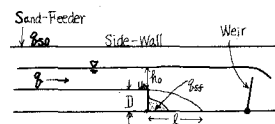
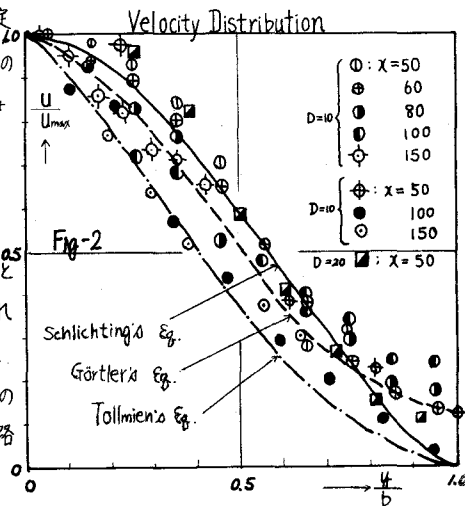


Fig-1.



1) 流速分布；流速分布の計算方法には多くの方法があるが、いずれも自由流れと流速分布の相似を仮定しており図-2に示した如く実測による誤差に比べて大差ない。ここでは図-4に示す如く x - y 座標軸をとり Schlichting の式を用いる事にする。

$$\frac{U}{U_{max}} = 1 - (1 - \eta^{\frac{2}{3}})^2 \quad (1)$$

但し $\eta = \frac{y-y_0}{b}$

ここで b は拡散領域の幅を表わし拘束係数 K_0 を用いて表わすと、 $b = \sqrt{K_0 x}$ で表わされる。

2) 流速の低減；表面流速の低減特性は、いずれも Tollmien の式

$$\frac{U_{max}}{U_{bottom}} = K_0 \sqrt{\frac{2h_0}{x}} \quad (2)$$

を満足している。 K_0 の値として Albertson は 2 次元理想噴流の場合 $K_0 = 2.28$ 、石原・志方 は 開水路急拡部に於いて $K_0 = 1.64$ を与え、 K_0 を定数とし、変化するのは b であるとしているが我々の実験では K_0 が小さめで自由噴流に近付き(限界として $K_0 = 0.3$)、むしろ K_0 自体が変化していると考えられる。

3) 剥離領域の長さ(l)； Wake の長さと Potential Core の長さ(l_p)との関係により段落部に於ける常流遷移流は図-4に示す 3 つのパターンに分けられる。

(i) $l_p > l$ のとき：

断面 A, B での連続式より(平均値をサフィックス m で表わして)

$$U_{bottom} h_0 = \alpha \cdot U_{bottom} + \int_{0}^{b} u \cdot dy$$

又 $y_1 = D + h_0 - b$, $b = \frac{y_1}{\beta} = \frac{y_1}{f}$ ゆえ (1) 式を用いて変形すると

$$U_{bottom} h_0 = \alpha \cdot U_{bottom} (D + h_0 - \frac{y_1}{f}) + \frac{f}{\beta} U_{bottom} \int_{0}^{b} [1 - (1 - \eta^{\frac{2}{3}})^2] d\eta$$

(4) 式を $\frac{h_0}{f}$ についてせり出すと

$$\frac{l}{f h_0} = \frac{1}{\alpha - \beta f} \left[\alpha \frac{D}{h_0} - (1 - \alpha) \right] \quad (5)$$

$$\frac{l}{f h_0} = \frac{1}{1 - \beta f} \cdot \frac{D}{h_0} \quad (5')$$

但し $\alpha = \frac{1}{U_{bottom} h_0} \int_{h_0-y_1}^{h_0} U_0 dy$, $\beta = \frac{U_{bottom}}{U_{bottom}}$, $C = \int_{0}^{b} [1 - (1 - \eta^{\frac{2}{3}})^2] d\eta$ である。

(ii) $l_p < l$ のとき：

A, B 断面での連続関係は、 $U_{bottom} h_0 = \int_0^b u dy$ ゆえ (1), (2) 式を用いて変形し $\frac{h_0}{f}$ でせり出すと。

$$\frac{h_0}{f} = 2(1 + \frac{D}{h_0})^2 \cdot C^2 \cdot \alpha^2 \cdot K_0^2 \quad (6)$$

$$\alpha = 1 \text{ とき } \frac{h_0}{f} = 2(1 + \frac{D}{h_0})^2 \cdot C^2 \cdot K_0^2 \quad (6')$$

(iii) $l_p = l$ のとき：

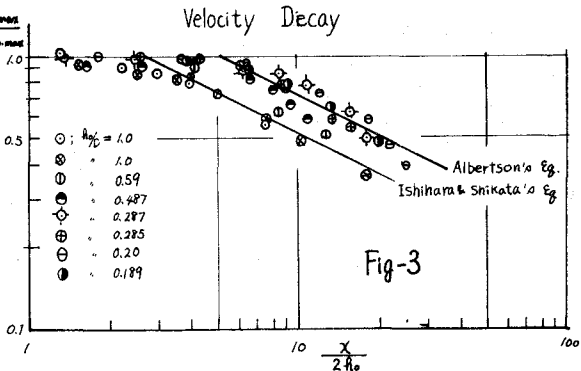


Fig-3

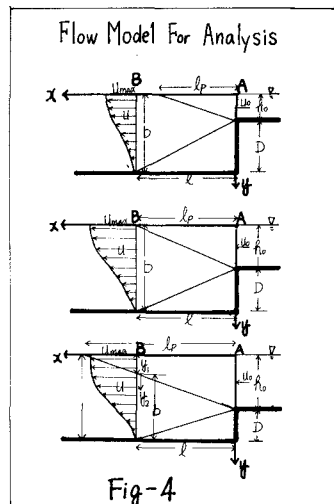


Fig-4

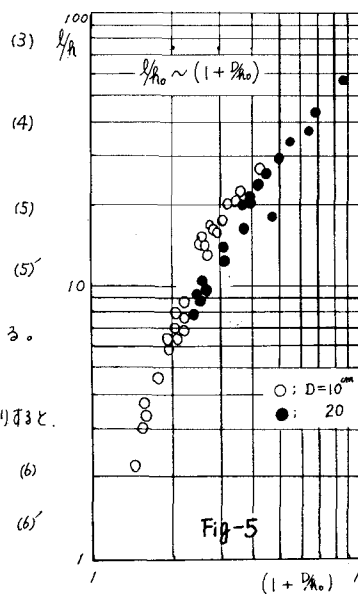


Fig-5

(6)式より $l_0 = l$ のときは、 $1 + \frac{1}{K_0} = \frac{l}{\alpha C}$ 、又 $\delta = \frac{1}{K_0} = \frac{l}{l_0 + h_0}$ より $\frac{1}{K_0} = \delta(1 + \frac{1}{K_0})$ ゆえこれらを用いて(6)式は

$$K_0 = \sqrt{\delta / 2 \alpha C} \quad (7)$$

$$\alpha = 1 \text{ のとき } K_0 = \sqrt{\delta / 2 C} \quad (7')$$

(5), (6)式が常流遷移の段落部に於ける剝離領域の長さを表わす式である。又 C の値としては数値積分した結果、 $C = 0.55$ とする。そこで $\frac{1}{K_0} \sim (1 + \frac{1}{K_0})$ を Plot すると図-5 のようになる。図-5 によると $\frac{1}{K_0}$ の小さい所では 2 次的に変化し、 $\frac{1}{K_0}$ の大き所では直線関係にあるようである。そこで $\frac{1}{K_0} \propto (1 + \frac{1}{K_0})$ とすると $K_0 \propto (1 + \frac{1}{K_0})^{-1}$ となり、 $\frac{1}{K_0} \rightarrow \infty$ になるとかえって K_0 は減少する。これは前述の流速の低減の時と逆になつており、今後、更に検討していきたい。

2. 浮遊砂のまき込み

本実験に於いては、 $\frac{U_{w0}}{U_0} = 1.3 \sim 1.7$ の範囲であるので、供給した石炭粉のうち、一部は掃流砂となって段落から Wake 内に沈殿するものと考えられる。従って Wake 内に堆積する石炭粉の量 (B_{sw}) は、Wake 内に沈降してくる浮遊砂 (B_{sf}) と、段落から落ちてくる掃流砂 (B_{sf}) から構成される。 B_{sf} は供給点から段落までの間に水路床に沈殿する量に等しいから、 B_{so} 、 $\frac{U_{w0}}{U_0}$ 、及び供給点から段落までの距離の函数になると思われる。然るに、供給点と段落間の距離は各実験とも共通ゆえ、 $B_{sf} = B_{so} \cdot f_1(\frac{U_{w0}}{U_0})$ なる関係が予想される。次に B_{sw} は、Wake 境界面上の濃度を C_0 、その点に於ける流速の上向き成分をひとすると

$$B_{sw} = \int_0^l \left\{ C_0 (U_0 - U) - \varepsilon_s \left(\frac{\partial C}{\partial x} \right)_{x=b} \right\} dx \quad (8)$$

で表わされる。ここで ε_s は、浮遊砂の拡散係数である。

従って

$$B_{sf} = B_{sw} + B_{sf} = U_0 \int_0^l C_0 dx - \int_0^l \left\{ U_0 + \varepsilon_s \left(\frac{\partial C}{\partial x} \right)_{x=0} \right\} dx + B_{so} f_1(\frac{U_{w0}}{U_0}) \quad (9)$$

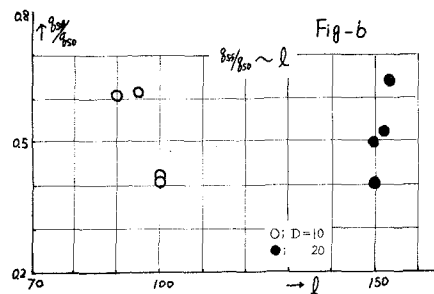


Fig-6

実験結果によると、同一水理条件に於いては、供給量 B_{so} を変化させても Wake 内に沈殿する割合(浮遊砂量配分) B_{sf}/B_{so} は殆んど変化しない。従って同一水理条件の下では、濃度は B_{so} に比例すると考えられるから次の関係式が予想される。

$$C_0 = C_{sf} \cdot f_2(x), \quad \left(\frac{\partial C}{\partial x} \right)_{x=0} = C_{sf} f_3(x) \quad (10)$$

又、 $f_1 \propto U_{max} \propto U_0$ 、 $f_2 \propto b \cdot U_{max} \propto b \cdot U_0$ でかつ $b \propto U_{max}$ ゆえ、以上の関係式を(9)式に代入すると

$$\frac{B_{sf}}{B_{so}} = \frac{C_{sf} U_0}{B_{so}} \left[\int_0^l f_2(x) dx - K \frac{U_0}{U_{w0}} \int_0^l f_3(x) dx \right] + f_1(\frac{U_{w0}}{U_0}) \quad (11)$$

但し K は定数。濃度分布式として Kaliske の式を用いると

$$C_{sf} = \frac{B_{so}}{P \cdot g} \quad \text{但し } P = \int_0^l [1 + 2.5 \frac{U_0}{U_{w0}} (1 + \ln \eta)] e^{-\frac{15.5 \eta}{U_0}} d\eta \quad (12)$$

であるから結局(11)式は

$$\frac{B_{sf}}{B_{so}} = \frac{U_0}{P \cdot g} \left[\int_0^l f_2(x) dx - K \frac{U_0}{U_{w0}} \int_0^l f_3(x) dx \right] + f_1(\frac{U_{w0}}{U_0}) \quad (13)$$

となる。 P は $\frac{U_{w0}}{U_0}$ の函数、 $\int_0^l f_2(x) dx$ 、 $\int_0^l f_3(x) dx$ は l の函数であるから、浮遊砂量配分(B_{sf}/B_{so})は l と $\frac{U_{w0}}{U_0}$ の函数となる。そこで実験値を $B_{sf}/B_{so} \sim l$ 、 $B_{sf}/B_{so} \sim \frac{U_{w0}}{U_0}$ で Plot すると、各々図-6, 7 のようになる。それによると B_{sf}/B_{so} は $\frac{U_{w0}}{U_0}$ が減少すると増大していく。

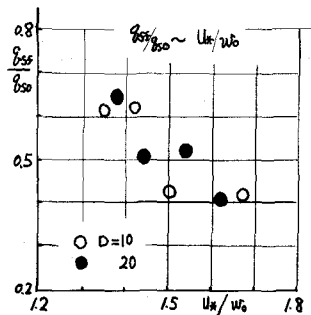


Fig-7

これは $\frac{d\%}{dz}$ が増すと B_{sf} 従って $\frac{d\%}{dz}$ が減少する事、及び(12)式の右辺第1項が減少する事から説明される。次に $\frac{d\%}{dz}$ と ζ の図につりては、特定の関係は認められず、 ζ の変化による $\frac{d\%}{dz}$ の変化が非常に小さい事を示している。このことは我々の「貯水池の堆砂過程」の実験結果と一致している。

3. 濃度分布

$D=10\text{ cm}$ の場合を例として $\zeta=0, 50, 100, 150\text{ cm}$ の各点での濃度分布を示すと図-8のようになる。

i) 水表面附近に於いては $\zeta=0\text{ cm}$ の濃度より $\zeta=50, 100, 150\text{ cm}$ の濃度の方がいずれも大きい。この事は噴出口下流の水面附近では出口附近よりも拡散が卓越している事を示し、「浮遊砂を含む貯水池の堆砂過程」の実験に於ける実測結果でも同様の傾向が見られた。

ii) 下流に行くにつれて濃度は減少し、深さ方向に一様になる傾向 ($\% \rightarrow 0$) にあり、従来の実測結果とも定性的に一致しているようである。この事は堆積が進行しつつある状態では、乱れの効果が水面附近を除いて小さな事を示している。濃度分布は浮遊砂の堆砂形状を解く場合に非常に重要な問題であり、今後更に実験を追加し研究していただきたい。

IV. あとがき

i). 段落部に於ける水理特性は、剝離領域の形成と噴流の拡散過程として考えられる。との観点から Schlichting の流速分布式と Tollmien の低減公式を用いて Wake長(l)につりて解析を試みた。その結果 $\frac{d\%}{dz} \rightarrow 0$ に近づくにつれて表面流速の低減状態は自由噴流に近づき(限界として $\frac{d\%}{dz} = 0.3$)、 K_0 は変化している。又(2)式の K_0 と Wake長を決める(6)式の K_0 とは逆の傾向にあり、更に検討を要する。

ii). Wake内に堆積する全石炭粉量(B_{ss})は、Wake内に沈降してくる浮遊砂量(B_{sw})と、段落から落ちて来る掃流砂量(B_{sf})から構成され、 B_{ss} は $B_{sw} f(\frac{d\%}{dz})$ 、 B_{sw} は(8)式で表わされるものとすれば、浮遊砂量配分($\frac{B_{ss}}{B_{sf}}$)は(13)式で表わされる。その結果、 $\frac{B_{ss}}{B_{sf}}$ は l と $\frac{d\%}{dz}$ の函数となり、我々の行った実験の範囲では l よりも $\frac{d\%}{dz}$ の方が $\frac{B_{ss}}{B_{sf}}$ に効いてくる事が確かめられた。

参考文献

(1) 石原・志方 「開水路急拡部の水理特性に関する研究」 土木学会論文集 第128号 (S.41.4)

(2) 平野・吉田・渡辺 「掃流浮遊砂の流入による貯水池の堆砂過程」 第23回年次学術講演会概要集 (II-144)

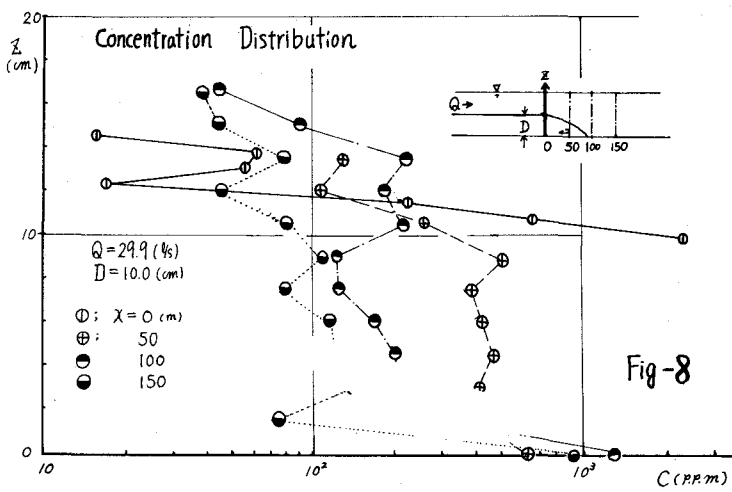


Fig-8